

京都大学 防災研究所 正会員。西 太郎・角屋 瞳

1. まえがき これまで図1に示すように、丘陵地斜面域の雨水流出過程を、土壤水分浸潤降下と龜裂流の両成分からなる地下水流出し、中間流出及び表面流出の合成過程とする流出モデルについて検討を加えてきた。今回は流出モデル定数と蒸発量資料について吟味検討を行ったので適用例とともに述べる。

2. 流出モデルの構成式 地表面に到達した雨水は表層部の土壤水分量( $\theta_1$ )を考慮して、浸透成分とその他の成分に(1)式で分離される。

$$I = A_i [t + T(\theta_1)] + B_i \quad \dots (1)$$

ここで、 $I$ : 浸透能、 $A_i, B_i$ : 定数、 $t$ : 降雨開始後の時間、 $T(\theta_1)$ : 土壌条件を考慮するための修正時間。土壤水分の消長を考慮した雨水の浸潤降下については表層部、下層部の土壤水分量( $\theta_1, \theta_2$ )を用いて $\beta_I, \beta_{II}$ を(2)式で近似し、連続式(3)を併用して解析を行う。

$$\begin{aligned} \beta_1 &= -R \\ \beta_{II} &= -\alpha_I \exp(\beta_I \cdot \theta_1) \\ \beta_{II} &= -\alpha_{II} \exp(\beta_{II} \cdot \theta_{II}) \\ \partial \theta_{II}/\partial t &= -\partial \theta_I/\partial z \end{aligned} \quad \dots (2)$$

	$K_0$ (mm/h)	$\theta_0 - \theta_1$	A	B	C	N
D	7.5	0.25	30	2	0.01	2
E	5.0	0.25	40	2	0.01	2
F	2.5	0.25	50	2	0.01	2
G	1.0	0.25	50	2	0.01	2
H	0.5	0.25	50	2	0.01	2

図1 流出モデル

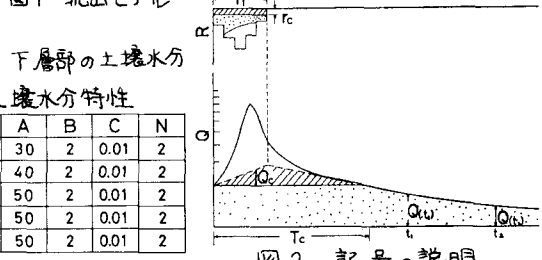
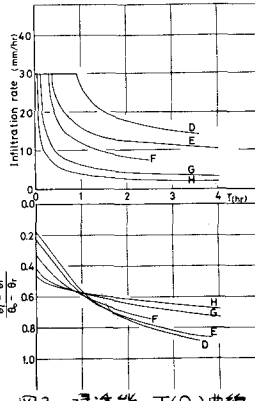
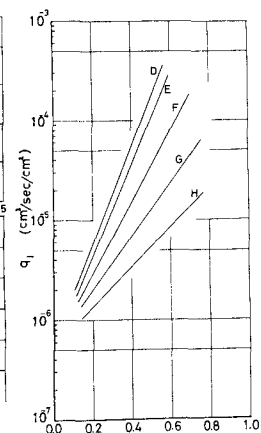


表1 土壤水分特性

ここで $R$ は地表面よりの流量であり、 $R \geq 0$ のとき降雨強度または浸透能の1/ずれが小さい値、 $R < 0$ のとき蒸発強度。ただし、 $\theta_1$ がある限界値( $\theta_{air}$ )まで減少した場合にはそれ以後の蒸発は生じないものとする。上層からの浸透成分 $\beta_I$ と龜裂成分 $\beta_{II}$ を受けて河道方向へ流動する地下水運動の解析には(4)式もしくは(5)式を適用する。

$$\frac{\partial H}{\partial t} = \frac{K_0}{\lambda_0} \frac{\partial}{\partial x} \left[ (H - G(x)) \frac{\partial H}{\partial x} \right] + \frac{\beta_{II} + \beta_C}{\lambda_0} \quad \dots (4)$$

$$\frac{\partial H}{\partial x} = \frac{K_0 H_0}{\lambda_0} \frac{\partial^2 H}{\partial x^2} + \frac{\beta_{II} + \beta_C}{\lambda_0} \quad \dots (5)$$

図3 浸透能・T( $\theta_1$ )曲線図4  $\beta_I(\theta_1)$ 曲線

ここで、 $H$ : 基準面からの地下水位、 $G$ : 不透層高、 $H_0$ : weighted mean depth,

$K_0$ : 透水係数、 $\lambda_0$ : 有効间隙率。しかし、遅い地下水流出し量( $Q_{gd}$ )は単純に

(6)式により算出して差支えない。 $Q_{gd} = \beta_{II} \cdot A_0$   $\dots (6)$

$A_0$ : 流域面積。直接流出については、中間流にDarcy則、表面流にManning則を適用し、Kinematic Waveとした取扱いにより解析する。

3. 流出モデル定数の推定 地形図から種々の地形量を測り定した後、有効土壤層厚( $z_e$ )を降雨終了後かなりの時間が経過した2時点( $t_1, t_2$ )の斜面平均土壤水分量( $\theta_{t_1}, \theta_{t_2}$ )及び河川流量 $Q(t)$ を(7)式により、また(2)式の $\alpha_{II}$

$$z_e = \frac{\int_{t_1}^{t_2} Q(t) dt}{(\theta_{t_1} - \theta_{t_2}) \cdot A_0} \quad \dots (7)$$

$\alpha_I, \beta_I$ は $\alpha_{II}, \beta_{II}$ を $\theta_0$ 近似として採用し、浸

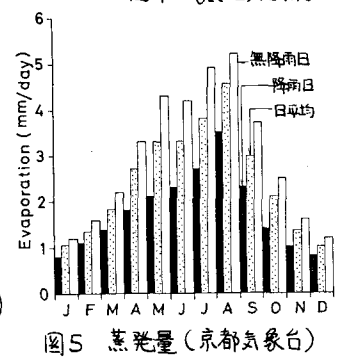


図5 蒸発量(京都気象台)

透能曲線式及び $T(\theta)$ 曲線は浸透能試験を行い推定する。この場(1)式の $B_i$ には巻盤流入成分( $r_c$ )が含まれるのでこれを(8)式で  $r_c = \frac{\int_{t_0}^{T_c} Q_c(t) dt}{T_c \cdot A} \dots (8)$  推定し除去する必要がある。今おこなうる現地

試験の実施は容易でないえ、得られた値は流域代表値を示さない場合が多く、このモードル定数推定に関して残された問題は少くない。ここでは、ヒリムとえず、特性の異なる5種類の土壤について、適当な降雨・蒸発条件の下に不飽和浸透流の基礎式を数値的に解析し、その結果を整理してモードル定数を求め、图表にまとめ試算に役立つことにした。毛管水分曲線及び不飽和地水係数の表示式として(9)、(10)式を採用した場合の各係数を表1に示す。

$$\text{ここで}, \Theta_r: \text{'residual' soil moisture content}, K_s: \text{飽和度}, \frac{\Theta - \Theta_r}{\Theta_s - \Theta_r} = \frac{A}{A + C(-\psi)^B} \dots (9)$$

$$\text{和透水係数}, \Theta_s: \text{飽和度}, \frac{K}{K_s} = \left[ \frac{A}{A + C(-\psi)^B} \right]^N \dots (10)$$

水分量, A, B, C, N: 定数。

浸透能曲線と $T(\theta)$ 曲線及び $\theta(\theta)$ 曲線を図3, 4に示す。

巻盤流入成分よりなる速い地下水流出の低減曲線は(11)式で

あてはめることにより(4), (5)式の定数は求められ。

$$Q = 2H_0K_0h_0/B \cdot \exp(-K_0H_0/\lambda \cdot \pi^2/4B^2 \cdot t) \dots (11)$$

4. 蒸発量資料 各地の気象台での蒸発量は容易でないが、1965年まで各地の気象台で日蒸発量が得ら

れていますので、これらを収集整理しこの流出解析に用いることができる。図5に京都気象台で観測された1951年から15年間の資料と月別日の蒸発量、無降雨日蒸発量、降雨日蒸発量について示す。ここでは無降雨日の蒸発量

を用い、図6の配分率で時間蒸発量を算出した。

なお、降雨がある場合にはその時間内での蒸発量を0とした。図6は1975年8月の晴天

日に宇治川水理実験所で測定した結果である。

5. 解析結果 上述の流出モデルを京都市西部に所在する下狩川上流域(12.9ha)に適用する。地下水流出については全流域

を一つのブロックに直接流出では4ブロックに分割して解析を行った。最終的に用いた浸透能曲線と $T(\theta)$ 曲線および $\theta(\theta)$ 曲線を図7, 8に示す。(5)式の

$K_0H_0/\lambda$ は  $0.0096 \text{ m}^3/\text{sec}$ 、中間流生起場の枯葉層の $K$ は  $0.343 \text{ m/sec}$  であ

る。(7)式による有効土壤層厚は  $2.75 \text{ m}$  であり、このうち表層土厚を  $25 \text{ cm}$  と

した。なお流域の平均斜面長 $B$ は  $58 \text{ m}$ 、平均斜面勾配は  $0.4$  である。図9に

1975年6月1日から153日間の遅い地下水流出の計算結果を観測ハイドログラフ

とともに示す。図10には8月23日の降雨について、各成分を合成した結果を示

してある。これらの計算結果はかなり良く実測ハイドログラフを再現しており、

この流出モデルの有用性を証明しているといえる。

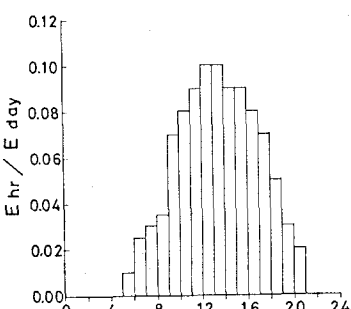
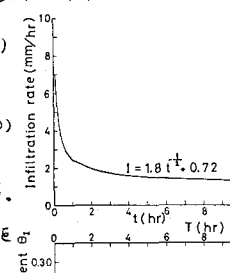


図6 蒸発量の時間配分率



$$I = 1.8t^{1/4} + 0.72$$

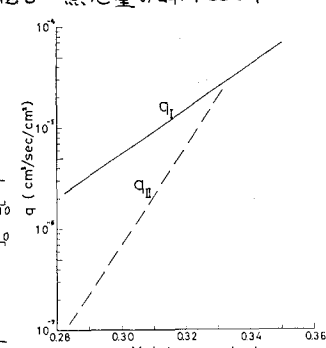


図8  $q(\theta)$ 曲線

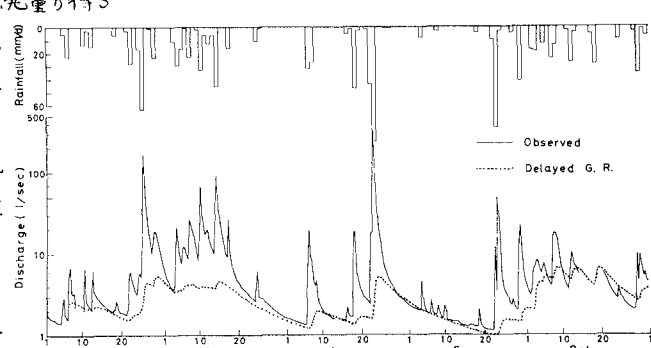


図9 計算結果(遅い地下水流出)と観測結果

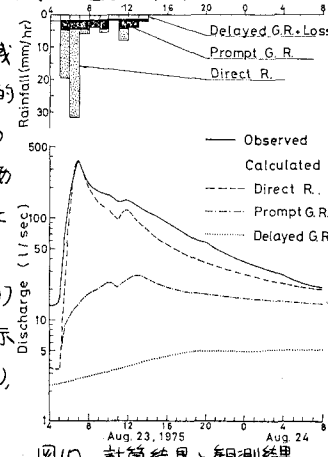


図10 計算結果と観測結果